

NİKEL İÇEREN DENTAL ALAŞIMLarda IN VITRO OLARAK ÇÖZÜNEN NİKEL MIKTARININ SAPTANMASI

DETERMINATION OF AMOUNT OF NICKEL RELEASED FROM NICKEL CONTAINING DENTAL ALLOYS IN VITRO

Köksal BEYDEMİR*

Nur SEVER SÖYLEMEZ†

ÖZET

Bu çalışmada, değişik oranlarda nikel içeren kıymetsiz metal alaşımlarından ve bu alaşımlara % 30 ve % 50 oranında artık döküm ürünlerinin ilavesiyle elde edilen döküm örnekleri 4 farklı periyotta yapay tükürüğe çözünen nikel iyon salım miktarları yönünden ICP-AES ile incelendi.

Döküm örneklerinin çözünen nikel iyon salımına; alaşımındaki nikel oranının ve artık döküm ürünlerinin ilavesinin etkileri araştırıldı. Ayrıca çözünen nikel iyon salımı farklı periyotlara göre değerlendirildi.

Kıymetsiz nikel içerikli metal alaşımlarından ölçülebilir oranda nikel iyon salımı olduğu bulundu. Farklı periyotlardaki nikel iyon salımında görülen değişiklikler alaşımlarda birbirlerinden farklılık gösterdi. Bu alaşımlardaki nikel oranının artmasının nikel iyon salımını artırdığı, artık döküm ürünlerinin dökümlerde kullanılmasının çözünen iyon salımında değişikliklere neden olduğu tespit edildi.

Anahtar kelimeler: Nikel iyon salımı, yapay tükürük, artık döküm ürünleri.

SUMMARY

In this study; samples of non-precious metal alloys containing nickel in various proportions, and of those obtained through addition of waste alloys at the rate of 30% and 50% to them were investigated in view of nickel ion release dissolved into artificial saliva during 4 different periods by ICP-AES.

The effect of nickel proportion in the alloy and waste alloy addition on nickel ion release dissolved nickel ion release was evaluated according to different storing periods.

Nickel ion release from non-precious metal alloys was found to be in measurable proportions the changes observed in nickel ion release during the periods exhibit differences in alloys. Increase of nickel proportion in these alloys increased nickel ion release. Use of waste alloy products in castings lead to change in dissolved nickel ion release.

Key words: Nickel ion release, artificial saliva, addition of waste alloys.

* Dicle Üniversitesi Dişhekimliği Fakültesi Protetik Diş Tedavisi AD, Doç. Dr.

† SSK Ağız ve Diş Sağlığı Merkezi Ankara, Dr. Dt.

GİRİŞ

Metallerin; inleyler, köprü protezleri, hareketli böülümlü protezler, ortodontik tedavide kullanılan teller gibi dental uygulamalara en uygun özelliklere sahip olabilmesi için, başka metallerle alaşımları elde edilmiştir. Sabit ve hareketli böülümlü protezlerin alt yapısında genellikle kullanılan kıymetsiz metal alaşımaları krom-kobalt ile krom-nikel alaşımlarıdır ve bu alaşımalar dental restorasyonlarda kullanılan alaşımların % 90 kadarını teşkil eder. Bu alaşımların kapsamlı kullanımları nedeniyle biyolojik güvenirliği, alerjik reak-

siyon oluşturma sıklığı konuları gündeme gelmiştir.^{1,2,3,4,5,6,8,9,10, 11,20,21,24,31,32,35}

Dental restorasyon materyali olarak kullanılan bu alaşımaların nikel oranı % 60-80 oranında değişmektedir. Nikelin uygun sertlik ve yüzey genişliği vermesi, porselen bağlayıcı karaktere sahip olması dişhekimliğinde kullanılan birçok kıymetsiz metal alaşımında yüksek oranda nikel kullanılmasına yol açmıştır. Ancak, nikel içeren kıymetsiz metal alaşımların çoğu yüksek oranda korozyona uğrama eğilimindedir. Alaşımların biyoyumluluğu ve korozyon davranış-

şı arasında yakın bir ilişki vardır^{6,27}.

Bu alaşımaların korozyon ürünleri lokal ve sistematik etkiler yapabilmektedir. Özellikle, nikel içerikli alaşımalarla bağlı hipersensitive gibi immünolojik yanıtlar oluşabilmektedir. Çoğu yüksek oranda korozyona uğrama eğiliminde olduğu bilinen nikel içerikli kıymetsiz metal alaşımalar, artık döküm ürünlerinin ilavesiyle bu eğilimin artacağı ve sonuça korozyon ürünlerinin konsantrasyonlarında değişiklikler olabileceğini mümkün kılmaktadır. Konu ile ilgili çalışmalar incelendiğinde, korozyona etken olan pek çok faktör ve korozyon ürünlerinin muhtemel sistemik ve lokal etkilerinin ayrı ayrı araştırılmış olmasına rağmen, özellikle ülkemizde, artık döküm ürünlerinin değişik oranlarda başka dökümlere ilavesi ile çözünen iyon salımını kıyaslayan ve saf alaşımardaki çözünen iyon salımını temel alan bir çalışmaya rastlanılmamıştır^{1,2,8,9,15,16,18,23,24,28-33}.

Bu nedenle çalışmamızda, değişik oranlarda nikel içeren kıymetsiz metal alaşımalarından elde edilen döküm örneklerinden farklı periyotlarda hangi oranda nikel iyonunun çözüldüğünü ve artık döküm ürünlerinin belli oranlarda ilavesiyle elde edilen döküm ürünlerinden aynı periyotta ne oranda nikel iyonunun çözüldüğünü saptamayı amaçladık.

GEREÇ VE YÖNTEM

Araştırmamız; Mega Dental Diş Protez İmalat Sanayi laboratuvarında ve Maden Tetkik Arama genel müdürlüğü maden analizleri ve teknolojisi daire başkanlığı laboratuvarlarında gerçekleştirildi. Araştırmamızda; kuron-köprü protezlerinin metal alt yapı oluşumunda kullanılan aşağıda isimleri yazılı 5 değişik kıymetsiz metal alaşımalarından yararlanıldı.

- Atlas (Worident, USA)
- Wirolloy (Bego, Germany)
- Wiron 99 (Bego, Germany)
- Remanium CS (Dentaurum, Germany)
- Remanium G-soft (Dentaurum, Germany)

Bu alaşımaların içindeki elementler her alaşımada farklı yüzdelerde olup, buna bağlı olarak alaşım özellikleri değişmektedir ki, bu elementlerin üretici firmalar tarafından belirtilen miktarları Tablo I'de görülmektedir.

Tablo I: Araştırmamızda kullanılan alaşımalar ve üretici firmalar tarafından verilen % olarak kimyasal kompozisyonları.

ALAŞIM	Ni	Cr	Mo	Fe	Si	Mn	Ti	Nb	Ce	C	S	Al	B
Atlas	75	12	5	-	-	-	2	-	-	-	-	-	-
Wirolloy	63.5	23	3	9	2	0.5	-	-	-	-	-	-	-
Wiron 99	65	22.5	9.5	0.5	-	-	-	-	-	-	-	-	-
Re.CS	61	26	11	<1	1.5	-	-	-	-	<1	<1	-	-
Re.G.Soft	65.5	27	5	-	1.5	<1	-	-	-	<1	-	-	<1

Test döküm örneklerinin hazırlanması amacıyla, kaide plağı mumundan 5 mm. çapında 1 mm. kalınlığında bir maket hazırlandı. Bu maketen, silikon esaslı ölçü maddesine gömülderek kalıbı elde edildi. Bu kalıp içine kaide plağı mumu eritip döküllererek birbirine benzer 60 adet mum maket hazırlandı. Daha sonra bunlar 4'erli gruplara ayrılarak 2 cm uzunluğunda ve 1,5 mm. lik silindirik mum tijlere bağlanarak manşete alındı.

Revetman olarak West (Bego,Germany) kullanıldı. Revetman vakumlu karıştırıcıda hazırlanarak vibratör üzerinde manşetlere döküldü ve oda sıcaklığında sertleşmeye bırakıldı. Mum eritme işlemi ve ön ısıtma işlemi gerçekleştirildikten sonra induksiyon döküm makinesinde (Heraeus Kulzer Combilator CL-IG) dökümler yapıldı.

Döküm aşamasında her bir alaşım için 3 değişik kompozisyon hazırlandı:

- 1- Mum örnekler saf alaşımından döküldü.
- 2- Saf metal ağırlığının % 30'u oranında bir kez dökülmüş artik metal katıldı.
- 3- Saf metal ağırlığının % 50'si oranında bir kez dökülmüş artik metal katıldı.

Dökülen örnekler kendi halinde soğumaya bırakıldı. Daha sonra kumlama işlemini takiben bilinen standart polisaj işlemi uygulandı. Her bir alaşımından hazırlanan 3 değişik kompozisyonun 4'er adet örnekleri toplamı 60 örnek 5 ml'lik polisitrat test tüplerindeki (Grenii, Germany) yapay tükürük (Saliva Orthana, Denmark) içerisinde yerleştirildi. Yapay tükürük pH'sı 6 ve müsin 35 mg/ml, benzolkonium klorid ve metil parahidrosibenzoat içermektedir. Yapay tükürük içerisinde oda ısısında ve hava ile temas halinde bekletilen örneklerden nikel iyon salımına ICP-AES (Inductively Coupled Plasma -Atomic Emisyon Spektrometer Sequential 1000 II) (Shimadsu, Japan) ile 4 ayrı periyotta (1, 2, 3 ve 4 haftalık) saptandı. ICP-AES, çözeltilerde majör- minör ve eser element analizleri yapabilen bilgisayarlı bir analiz cihazıdır. Verilerin işlenmesi ve cihazın kontrolleri bilgisayar ile gerçekleştirildi¹⁹.

Cihazın istenilen analitik şartlara göre çalışmasıını belirleyen veriler, cihaza bağlı bilgisayara girilir. Verilerin ve işlemlerin ekran üzerinde izlenmesi doğru analiz sonuçlarının elde edilmesinde büyük kolaylık sağlar¹⁹.

ICP'de eksidasyon, kaynağı olarak induktif kupa-laklı yüksek frekanslı argon plazma kullanılır. Plazma, elektronların ve iyonların dengede bulunduğu çok yüksek bir gazdır¹⁹.

Bilgisayarda analizi istenen her elemente ait dalgı boyunu grading bilgisayar kontrollü olarak dönerken 30 mikronluk çıkış sliti üzerine düşürür. Slitin gerisinde fototüp bu ışınlarını elektrik sinyallerine dönüştürür. Bu sinyaller bilgisayar ile sayısal değerlere dönüştürülür.

Yapay tükürükte Ni miktarını belirlemek için pik (en yüksek) ölçümler alındı. Her test iki kez yazıldı ve ortalaması sonuç olarak alındı. Muhtemel kontaminasyonu kontrol etmek ve background düzeyini saptamak için her beş yapay tükürük analizinden sonra, en az bir kör (saliva-blank) okuması yapıldı. Aynı zamanda her beş yapay tükürük analizinden sonra cihazın stabil okunması standart bir örnekle kontrol edildi.

BULGULAR

Çalışmamızda değişik oranlarda nikel içeren kıymetsiz metal alaşımardan ve bu alaşımara ilk dökümülerinden arta kalan artık döküm ürünlerinin belli oranlarda ilavesiyle elde edilen; döküm ürünlerinden yapay tükürüye çözünen nikel iyon salımı ICP-AES ile ppm düzeyinde tespit edildi.

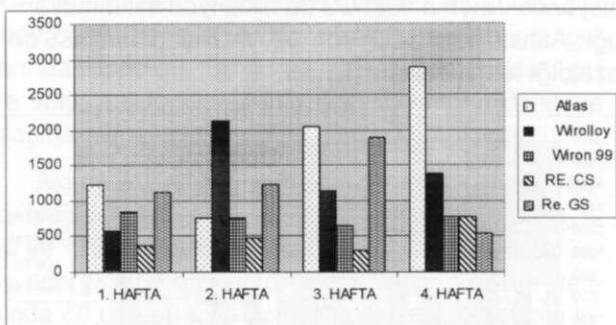
Saf metal alaşımardan, bu alaşımara ağırlığının % 30'u ve % 50'si oranında artık döküm ürünlerinin ilavesiyle elde edilen 3 değişik kompozisyondaki döküm örneklerinden dört ayrı haftada yapay tükürüye salinan nikel iyon oranları Tablo II'de gösterildi.

Analiz sonuçlarını istatistiksel olarak değerlendirmek için iki faktörlü tekrarlanan ölçümlü deneme düzeni kullanıldı. Bu test ile kıymetsiz metal alaşımaların nikel oranları ile bu alaşımardan elde edilen döküm örneklerinden çözünen nikel iyon salımı arasındaki ilişki değerlendirildi. Artık döküm ürünlerinin belli oranlarda ilavesiyle elde edilen döküm örneklerinden çözünen nikel iyon salımına göre kompozisyonlar kıyaslandı ve periyotlarla, döküm örneklerinden çözünen nikel iyon salımı arasındaki ilgi değerlendirildi.

Tablo II: Farklı kompozisyondaki döküm örneklerinden her bir periyotta çözünen nikel iyon salım değerleri

ALAŞIMLAR	1.Hafta	2. Hafta	3. Hafta	4. Hafta
Atlas	0.1232	0.0746	0.2046	0.2880
Wirolloy	0.0578	0.2130	0.1143	0.1378
Wiron 99	0.0838	0.0744	0.0646	0.1522
RE. CS	0.0359	0.0468	0.0300	0.0768
Re. GS	0.1125	0.1224	0.1898	0.0536
Atlas + % 30 Artık	0.0812	0.0812	0.1194	0.1010
Wirolloy + % 30 Artık	0.1968	0.1677	0.1463	0.2438
Wiron 99 + % 30 Artık	0.1504	0.0790	0.0538	0.0469
Re. CS + % 30 Artık	0.0357	0.0261	0.0533	0.1138
Re. GS + % 30 Artık	0.0490	0.0851	0.0513	0.0633
Atlas + % 50 Artık	0.0726	0.0681	0.0823	0.1025
Wirolloy + % 50 Artık	0.0362	0.0456	0.0635	0.0744
Wiron 99 + % 50 Artık	0.0297	0.0392	0.0529	0.0615
Re. CS + % 50 Artık	0.1766	0.0625	0.0899	0.1633
Re. GS + % 50 Artık	0.0598	0.0358	0.0445	0.0869

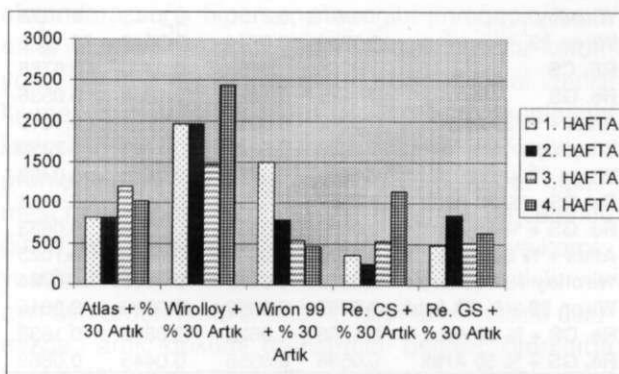
Nikel oranları farklı beş kıymetsiz metal alaşımından elde edilen döküm örneklerinden nikel iyon salım miktarı haftalık dört periyotta incelendi ve istatistiksel olarak anlamlı bulunmadı ($P>0.05$). Ancak, bu grubu oluşturan nikel iyon salımları matematiksel olarak birbirlerinden farklı durumlar sergiledi. Analiz sonuçlarına göre, iyon salımı en az Remanium CS'de, en fazla ise Atlas'da gözlandı. Diğer üç alaşımındaki iyon salımı ise sırasıyla; Wiron 99, Remanium GS ve Wirolloy şeklinde gözlandı.



Şekil 1. Beş farklı nikel içeren kıymetsiz metal alaşımından elde edilen döküm örneklerinden bu alaşımara göre yapay tükürüye çözünen nikel iyon salım değerlerinin dağılımı.

Artık döküm ürünlerinin % 30 oranında ilavesiyle elde edilen döküm örneklerinden çözünen nikel iyon salım miktarlarına ait analiz sonuçları Tablo 2'de verildi. Bu gruptaki nikel iyon salımı ile ilk gruptaki nikel iyon salımı ve alaşımaların haftalık periyotlardaki iyon salımı arasında istatistiksel olarak bir anlamlı bulunmadı ($P>0.05$). Ancak, bu grubu oluşturan 2. kompozisyondaki iyon salımı 1. gruba kıyasla matematiksel olarak farklılıklar sergiledi. Remanium CS ve Wirol-

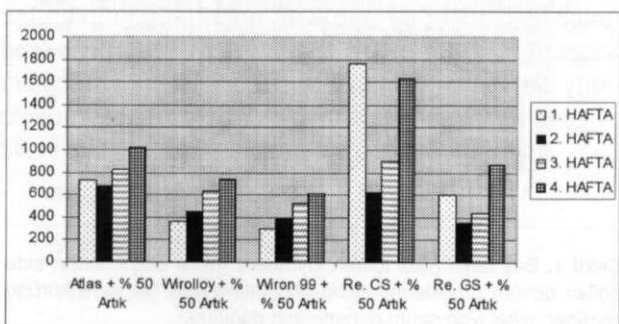
loy'da nikel iyon salımı 1. gruba kıyasla arttı; Atlas, Wiron 99 ve Remanium GS'de ise azaldığı bulundu. (Şekil 2)



Şekil 2. Nikel içerikli kıymetsiz metal alaşımlarından ve ağırlığının % 30'u oranında bu alaşımın artık döküm ürünlerinin ilavesiyle elde edilen döküm örneklerinden bu alaşımlara göre yapay tükürüğe çözünen nikel iyon salım değerlerinin dağılımı.

Artık döküm ürünlerinin % 50 oranında ilavesiyle elde edilen döküm örneklerinden nikel iyon salım miktarlarına ait analiz sonuçları Tablo 2'de verildi.

Bu gruptaki nikel iyon salımı ile ilk ve ikinci gruptaki nikel iyon salımı ve alaşımın haftalık periyotlardaki iyon salımı arasında istatistiksel bir anlam bulunamadı ($P>0.05$). Birinci gruba kıyasla 3. kompozisyonundaki Remanium CS'de nikel iyon salımının artlığı; Atlas, Wiroloy, Wiron 99 ve Remahium GS'de azaldığı tespit edildi. (Şekil 3)



Şekil 3. Nikel içerikli kıymetsiz metal alaşımından ve ağırlığının % 50'si oranında bu alaşımın artık döküm ürünlerinin ilavesiyle elde edilen döküm örneklerinden bu alaşımlara göre yapay tükürüğe çözünen nikel iyon salım değerlerinin dağılımı.

TARTIŞMA

Kıymetsiz metal alaşımının korozyon özelliklerini etkileyen çeşitli parametreler vardır. Bunlar arasında döküm bitirme işlemleri, kompozisyon ve passivasyon sayılabilir.^{6,17,22,34,36}

In vivo ortamdaki korozyon, oral kavitedeki fizyolojik ortamdan etkilenir ve burada pek çok değişkenlerin etkisi söz konusu olabilmektedir. Bu değişkenler arasında; pH, ısı, O_2 , konsantrasyonu, fizyolojik stres, proteinlerin varlığı ve mikrobiyolojik aktiviteler sayılabilir. Ayrıca; tükürük ayrı hastalarda ve aynı hastada farklı koşullar altında farklılık gösterebilir. Tükürüğün fiziksel özellikleri, miktarı ve bileşimi; diyet gününün belirli anları ve psikolojik durum gibi faktörlerden etkilenmektedir. Bu farklılıklar hem ağız içinde metallerin davranışını hem de analitik performansını etkilemektedir. Nikel içeren dental alaşımlara bağlı potansiyel etkiye değiştirebilecek diğer bir faktör de yiyecek kaynaklı nikel alımına bağlı tükürükteki metal oranı farklılıklarıdır^{6,27}.

In vivo ortamdaki sözü edilen farklılıklar ve araştırmamızda artık alaşımın belli oranlarda kullanılması nedeniyle çalışmamız in vitro olarak gerçekleştirildi.

Korozyon araştırmalarında, değişik formüllerde yapay tükürükler kullanıldığı ve bunların protein içerenler ve içermeyenler olarak 2 gruba ayrılabileceği bildirilmiştir. Çalışmamızda kullanılan yapay tükürük organik ve inorganik bileşenlerinin doğal tükürüge benzemesi nedeniyle tercih edildi.

Dental alaşımlar ve protezlerden in vitro ve in vivo ortamda sızan korozyon ürünlerinin saptanmasında çeşitli tipte analitik teknikler kullanılmıştır. Binalar arasında A.A.S.^{2,9,12,13,16,23,24,28,31}, elektrokimyasal yöntemler^{1,7,33}, nükleer tracer teknikler²⁹, ICP³², elektron probe ve proton mikroprobe teknikleri²⁷ ve x-ray teknikleri¹² sayılabilir.

ICP-AES analiz metodunun diğer normal atomik absorbsiyon spektrometre metodundan nikel için daha hassas olduğu Tai ve arkadaşları³² tarafından belirtilmiştir ve ayrıca daha ekonomik olması nedeni ile daha çok numune analizine olanak verdiği vurgulanmıştır. Bu bilgilerin işiği altında çalışmamızda ICP-AES analiz metodu kullanıldı.

Elde edilen analiz sonuçlarına göre; nikel oranları farklı 5 kıymetsiz metal alaşımından oluşan grupta, nikel iyon salımı ile nikel oranı arasındaki ilişki istatistiksel olarak anlamlı bulunmadı. Ancak, bu grubu oluşturan alaşımlar birbirlerinden matematiksel olarak farklı durumlar sergiledi ve nikel oranının daha az olduğu alaşımlardan nikel iyon salımının daha az ol-

duğu tespit edildi. Bu konuda araştırma yapan; Espevik¹², Pfeiffer²⁴, Geis-Gerstorfer ve arkadaşlarının¹³ bulguları ile bulgularımız aynı doğrultu sergiledi.

Espevik¹², saf nikel ve kıymetsiz metal alaşımardaki nikel iyon salımının, nikel oranının % 100 den % 70'e indiğinde azaldığını ve Cr oranının % 16'nın altında olduğu alaşımarda ise salımın fazla olduğunu belirtmiştir.

Pfeiffer²⁴, *in vivo* ortamda 5 farklı nikel içerikli alaşımın nikel iyon salımını saptamış, % olarak; Ni 59-65, Cr 23-26, Mo 10-11 şeklinde olan alaşımardan en az oranda Ni salımı olduğu ve Ni 74-85, Cr 13-14, Mo 3-5 alaşımalar yerine bunların klinik kullanımıının uygun olacağını belirtmiştir.

Geis-Geistorfer ve arkadaşları¹³, dört Ni-Cr-Mo ve dört Co-Cr-Mo kıymetsiz metal alaşımının iyon salımını araştırmış ve Ni-Cr-Mo alaşımaları içinde en az çözünürlüğü Remanium-CS'nin gösterdiğini belirtmiştir.

Çalışmamızda da 1. grubu oluşturan alaşımalar tek tek incelendiğinde, en az salımın Remanium-CS'de olduğu görülmektedir. Ni oranının en az bu alaşımada olması sonucun etkenlerinden biri olduğu düşündürmektedir. Ayrıca, krom ve molibden oranları da korozyona dirençte başka bir etkendir. En fazla nikel salımı Atlas'da görülmektedir. Nikel oranının gruptaki diğer alaşımalar içerisinde en fazla olması ve aynı zamanda bu oranın % 70'den fazla olması yanında, korozyona direnç sağlayan krom oranının az olmasının bu sonucu etken olduğu düşündürmektedir.

Tunçel ve arkadaşları³³, üç Ni-Cr alaşımı olan on değişik alaşımın korozyonunu dinamik yöntemle inceledikleri araştırmalarında molibden ve krom oranının fazla olduğu Ni-Cr alaşımarda korozyonun azaldığını belirtmişlerdir.

Canay ve Öktemer⁸, potansiyodinamik teknik ile inceledikleri, 13 değişik alaşımından Ni-Cr alaşım grubunda molibden içerikli alaşımın diğer Ni-Cr alaşımına göre daha az korozyona uğradığını belirtmişlerdir.

Brune⁶, kıymetsiz metal alaşımlarından yapay tükürüye günlük salınan nikel miktarının, alaşımındaki Cr oranı % 27'den fazla olduğunda 2 mikrogram, Cr oranı % 16 olduğunda 15 mikrogram ve bu oran % 8 olduğunda ise 400 mikrogram olduğunu belirtmiştir.

Dental alaşımardaki krom ve molibden oranları-

nin korozyona etken olduğu yolundaki bu araştırmaların bulguları çalışmamızın sonuçlarını doğrular niteliktedir.

Geis-Geistorfer ve arkadaşları¹³, dört Ni-Cr-Mo ve dört Co-Cr-Mo alaşımını 35 günlük sürede iyon salımı yönünden değerlendirdikleri çalışmalarında Co-Cr-Mo alaşımalarında genellikle 7-14 günde passivasyon olmasına karşın Ni-Cr-Mo alaşımalarında belirgin değişimler olduğunu belirtmişlerdir.

Çalışmamız analiz sonuçlarına göre; nikel iyon salımını iki hafta sonunda Atlas ve Wiron 99'da azalma gösterirken, Wirolloy, Remanium-CS ve Remanium-GS'de artma göstermiştir. Nikel iyon salımı üç hafta sonunda, Atlas ve Remanium-GS'de azalma, Wirolloy, Wiron 99 ve Remanium-CS'de ise artma göstermiştir. Dört hafta sonunda nikel iyon salımı Atlas, Wirolloy, Wiron 99 ve Remanium CS'de artış gösterirken, Remanium-GS'de azalma göstermiştir. Ancak, Remanium-GS'deki iyon salımının tek bir periyotta azalma göstermesi denge halini almadığının ifadesidir. Alasılardaki belirgin değişimlerin olması Geis-Geistorfer ve arkadaşlarının¹³, bulgularıyla aynı doğrultudadır. Aynı araştırıcının Ni-Cr-Mo grubunu oluşturan alaşımardan Remanium-CS'de nikel iyon salımının diğer alaşımardan az olması ile aynı doğrultuda olan bulgularımız, bu alaşının 35 günlük sürede denge halini yapısıyle çalışmamız bulgularından farklıdır. Bu sonuç deney şartlarındaki pH ve solüsyon farklılıklarının iyon salımında dengeye ulaşma süresini etkilediğini düşündürmektedir.

Aksoy ve arkadaşları¹, dört değişik kıymetsiz metal alaşımından ve bu alaşımara ağırlığının; % 30, % 50 ve % 80 oranında bir kez dökülmüş artık metal ilave ederek elde ettikleri örnekleri yapay tükürük içerisinde 60 gün süreyle potansiyodinamik yöntemle inceledi, artık alaşım katıldığı miktarla doğru orantılı olarak dökülmüş örneklerde deney süresince çözünürlüğün ve korozyona karşı eğilimin arttığını belirtmişlerdir. İkinci grubu oluşturan bazı alaşımarda nikel salımının 1. gruba kıyasla artması Aksoy ve arkadaşlarının bulgularıyla aynı doğrultudayken bazı alaşımarda nikel salımının azalmasıyla farklılık göstermektedir.

Reuling ve arkadaşları²⁷, beş Ni-Cr ve Co-Cr alaşımı intramusküler olarak tavşanlara implant ettiler ve 2, 4, 8, 12 haftada AAS (Atomic absorption spectrometry) ve NAA (Neutron Activation analysis)

yöntemi ile implantasyon yapılan tavşan kasındaki Ni, Cr, Co ve Mo konsantrasyonlarını ölçmüştürler, alaşımın implante edilmeden ve edildikten sonra mikroprobe analizi ile, alaşım yüzeyindeki implantasyon sonrası yüzey değişiklikleri ve yüzey element dağılımında değişiklik olduğunu belirtmişlerdir.

Schwickerath²⁸ ise, kıymetsiz metal alaşımından salınan iyon konsantrasyonunu incelediği araştırmasında yüzeyler düzeltildiğinde salının arttığını belirtmiştir.

Gjerdet ve arkadaşları¹⁶, sabit ortodontik apayelerin yerleştirilmesinden sonra, 3 haftadan fazla süre ile kalan apayeler üzerinde oluşan biyolojik filmden dolayı yüzeylerinin değişmeye başladığını, kullanılan teller üzerinde biyolojik birikintilere rastlanması ve bunlar nedeniyle korozyonun azaldığını belirtmişlerdir. Ancak, bilindiği gibi koruyucu olarak davranışabilen bu birikintiler korozyonun ilk basamağı ve ciddi bir korozyon belirtisidir^{25,26,36}.

Remanium CS'nin hem %30 hem de %50 oranında artık metal katıldığı kompozisyonlarda nikel salımının 1.gruba kıyasla artması, yüzey yapısında değişiklikler meydana geldiğini göstermektedir.

Çalışmamızda; 2. ve 3. grupta yer alan bazı alaşımın 1. gruba kıyasla nikel salımının azalması, artık metal ilavesiyle yüzeyde meydana gelen değişiklerin tükürügün müsin gibi bileşenlerle yüzeyde tutulmasına ve dolayısıyla salının azalmasına neden olduğunu göstermektedir. Bu sonuç; Reuling ve arkadaşlarının²⁷, Schwickerath²⁸ ve Gjerdet ve arkadaşlarının¹⁶, yüzey farklılıklarının salınan iyon konsantrasyonunda değişikliklere neden olduğu yolundaki bulgularını destekler niteliktir.

SONUÇ

Dişhekimliğinde nikel içerikli kıymetsiz metal alaşımının kullanılması oldukça yaygın olmasına rağmen, bu alaşımın risksiz olduğuna dair iddialar uluslararası bir planda kabul edilmemektedir ve hangi düzeyde alerjik toksik olan bu alaşımın kullanabileceğine ilişkin kesin bir sınırlama tespit edilememiştir. Bu nedenle, nikel iyon salımları birbirlerinden farklı olan alaşımın kullanımında dikkatli davranışması ve artık alaşımın ilavesiyle nikel iyon salımında değişiklikler oluşması nedeniyle artık alaşımın dökümlerde kullanılmaması gerektiği söylenebilir.

KAYNAKLAR

1. Aksoy G, Örgev EK, Bıçakçı A. Döküm ürünlerinde oluşan elektriksel değişimlerin fiziko-kimyasal yöntemlerle İncelenmesi. Atatürk Üni Diş Hek Fak Derg 4: 45-51, 1994.
2. Arıkan A. Effects of nickel-chrome dental alloys used in dentistry on saliva and serum nickel levels, peripheral T-lymphocytes and some other blood parameters. J Oral Rehabil 19: 343-352, 1992.
3. Baran GR. The metallurgy of Ni-Cr alloys for fixed prosthodontics. J Prosthet Dent 50: 639-650, 1983.
4. Beyli M, Nayır EH, Pamuk S. Nikel içeren dişhekimliği alaşımına karşı allerji. Dişhekimliğinde Klinik 2: 141-143, 1989.
5. Bezzon OL. Allergic sensitivity to several base metals: A clinical report. J Prosthet Dent 69: 243-244, 1993.
6. Brune D. Metal release from dental biomaterials. Biomaterials 7:163-175, 1986.
7. Canay Ş, Atasever N. Sabit protezlerde kullanılan altın alaşımı. Hacettepe Diş Hek Derg 14:199-203 1990.
8. Canay Ş, Öktemer M. In vitro corrosion behavior of 13 prosthetic alloys. Quintessence Int 23:279-286, 1992.
9. Covington JS, McBride MA, Slagle WF, Disney LA. Quantization of nickel and beryllium leakage from base metal casting alloys. J Prosthet Dent, 54:127-134, 1985.
10. Dalmau LB. The nickel problem. J Prosthet Dent, 48:99-101, 1982.
11. Dalmau LB, Albery HC, Parra LS. A study of nickel allergy. J Prosthet Dent, 52:116-119, 1984.
12. Espenvik S. Corrosion of base metal alloys in vitro. Acta Odontol Scand, 36:113-117, 1977.
13. Geis-Geistorfer J, Sauer KH, Passler K. Ion release from Ni-Cr-Mo and Co-Cr-Mo casting alloys. J Prosthodont Int, 4:152-158, 1991.
14. Geis-Geistorfer J, Sauer KH, Weber H, Pabler K: Untersuchungen zum Masseverlust von EM-NEM und Pd-Basis-Legierungen. Dental labar, XXXVII, Helf II 1605-1609, 1989.
15. Geis-Geistorfer J, Passler K. Studies on the influence of Be content on the corrosion behavior and mechanical properties of Ni 25 Cr- 10 Mo alloys. Dent Mater 9:177-181, 1993.
16. Gjerdet NR, Erichsen ES, Remio HE, Evjen G. Nickel and iron in saliva of patients with fixed orthodontic appliances. Acta Odontol Scand, 49:74-78, 1991.
17. Jendresen MD, Allen EP, Bayne SC, Hansson TL, Klooster J, Preston JD. Report of the committee on scientific investigation of the American academy of restorative dentistry. J Prosthet Dent, 68:137-190, 1992.
18. Johansson BI, Lucas LC, Lemons JE. Corrosion of copper, nickel and gold dental casting alloys: An in vitro and in vivo study. J Biomed Mater Res: Applied Biomaterials, 23:349-361, 1989.

19. ICP-I 000 11 Sequential plasma AES user manual.
 20. Nigiz R, Denli N. Nikel içerikli dental alaşım kullanımına bağlı serum IgE değerlerindeki değişimlerin incelenmesi. DÜ Diş Hek Fak Derg, 3:77-81, 1992.
 21. Nigiz R, Denli N. Nikel içerikli dental alaşımından yapılmış köprü protezi taşıyan hastaların serum IgA, IgM ve IgG düzeylerinin incelenmesi. DÜ Diş Hek Fak Derg, 3:82-86, 1992.
 22. Peyton CA. Restorative dental materials, Third Edit The C. V. Mosby Company St. Louis, 1968.
 23. Pfeiffer P, Schwickerath H. Nickelöslichkeit von dentalallegierungen im speichel. Dtsch Zahnärztl Z, 45:492-494, 1990.
 24. Pfeiffer P. Nickelöslichkeit von Dentalallegierungen in Abhängigkeit vom pH-Wert des speichel. Dtsch Zahnärztl Z, 47:599-602, 1992.
 25. Phillips RW. Elements of dental materials for dental hygienists and assistants. 4 th ed Philadelphia, Saunders, 1984 .
 26. Phillips RW. Skinner s science of dental materials. 9th ed. Philadelphia, Saunders, 1991.
 27. Reuling N, Wisser W, Jung A, Denschlang HO. Release and detection of dental corrosion product in vivo: Development of an experimental model in rabbits. J Biomed Mat Res, 24:979-991, 1990.
 28. Sthwickerath H. Zur prufung der löslichkeit von dentallergierungen. Dtsch Zahnärztl Z, 45:489-492, 1990.
 29. Söremark R, Wing K, Olsson K, Goldin J. Penetration of metallic ions from restorations into teeth, J Prosthet Dent, 20:531-540, 1968.
 30. Sutow EJ, Gerrow JD, Jones DW, Foreman TF, Hall GC, Moss M, Mc Curdy R. In vivo corrosion behavior of a Ni-Cr and a Ni-Cr-Be alloy. J Dent Rest, 67: 274 Abst. no: 1294(1988).
 31. Şahmalı SM, Kural O, Kılıç Z. Systemic effect of nickel-containing dental alloys: analysis of nickel levels in serum, liver, kidney and oral mucosa of guinea pigs. Quintessence Int, 22: 961-966, 1991.
 32. Tai Y, Delong R, Goodking RJ, Douglas WH. Leaching of nickel, chromium and beryllium ions from base metal alloy in an artificial oral environment. J Prosthet Dent, 68:692-697, 1992.
 33. Tunçel M, Ersoy AE, Yurdukor B. Sabit protez alaşımının döküm öncesi ve sonrası polarizasyon eğrilerinin incelenmesi. AÜ Diş Hek Fak Derg, 16:255-259, 1989.
 34. Uludağ B, Eser K. Genleşme tekniklerinin gözeneklilik yönünden araştırılması. AÜ Diş Hek Fak Derg, 17:73-78, 1990.
 35. Yurdukor B. Sabit protez alaşımının oluşturduğu biyolojik uyumluluk problemleri. Oral Derg, 6:6-7, 1989.
 36. Zaimoğlu A, Can G, Ersoy AE, Aksu L. Dişhekimliğinde maddebilgisi, AÜ Basımevi, Ankara, 1993 .

Yazışma adresi

Doç Dr. Köksal BEYDEMİR
Dicle Üniversitesi Dişhekimliği Fakültesi
Protetik Diş Ted. A. D. 21280-DİYARBAKIR
Fax : (0412) 248 81 00
Telf. : (0412) 248 81 01 / 3498
E-posta: beydemir@dicle.edu.tr